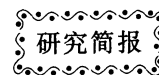


DOI: 10.3724/SP.J.1006.2012.00904



OsBTF3 基因在水稻光合作用和生长发育中的功能

李广旭^{1,2} 陈华民¹ 吴茂森¹ 何晨阳^{1,*}

¹ 中国农业科学院植物保护研究所 / 植物病虫害生物学国家重点实验室, 北京 100193; ² 辽宁省农业科学院果树研究所, 辽宁熊岳 115009

摘要: 为了揭示转录因子*OsBTF3*在水稻生长发育中的功能, 比较分析了*OsBTF3*过量表达和RNAi转基因水稻T₁代株系叶片生长和株型发育的表型。结果表明, 与野生型对照株相比, 过量表达株系在叶绿素含量、叶绿体数量、光合速率、叶片大小、株高、节间长方面显著增加或增强; 而RNAi株系的明显降低或减弱。*OsBTF3*基因的增量或减量表达显著影响水稻光合作用、叶片生长和株型发育。说明*OsBTF3*在水稻生长发育中具有重要调控功能, 可能在水稻转基因分子育种方面具有潜在的应用价值。

关键词: 水稻; *OsBTF3*; 转基因; 光合作用; 生长发育

Functions of *OsBTF3* Gene in Regulation of Photosynthesis, Growth and Development in Rice

LI Guang-Xu^{1,2}, CHEN Hua-Min¹, WU Mao-Sen¹, and HE Chen-Yang^{1,*}

¹ State Key Laboratory for Biology of Plant Diseases and Insect Pests / Institute of Plant Protection, Chinese Academy of Agricultural Sciences, Beijing 100193, China; ² Institute of Pomology, Liaoning Academy of Agricultural Sciences, Xiongyue 115009, China

Abstract: To reveal the regulatory roles of transcription factor *OsBTF3* in growth and development of rice, we comparably analyzed the growth and development of the transgenic rice with over-expressed or RNAi-silenced *OsBTF3* gene. Results showed that significant increases in chlorophyll content, chloroplast number, photosynthetic rate, leaf size, plant heights and stem internode length were found in T₁ generation of transgenic rice lines with the over-expressed gene compared to wild-type control plants, while remarkable decreases in above phenotypes were observed in plants with the RNAi-silenced gene. Over-expression or silencing of transgene *OsBTF3* in rice resulted in significant changes in photosynthesis, growth and development of rice. Therefore, *OsBTF3* functions as a key regulator in growth and development, and might be potentially used in molecular breeding of rice for improving agronomic traits.

Keywords: Rice; *OsBTF3*; Transgenic; Photosynthesis; Growth and development

BTF3 蛋白作为转录因子或新生多肽关联复合体^[1-3], 其在真核生物中的生物学功能主要涉及烟草叶片生长发育^[4]、果蝇和小鼠胚胎死亡^[5-6]、线虫细胞程序性死亡^[7]、与水稻细胞周期蛋白和拟南芥翻译起始因子互作^[8-9]等方面。然而, 长期以来对该基因在水稻中的功能却鲜见报道。

在前期研究工作中, 本实验室开展了水稻与白叶枯病菌互作的基因表达谱分析, 从中发现了水稻基因*OsBTF3*被显著诱导而上调表达^[10]。为阐明该基因在水稻中的功能, 我们对该基因进行了分子克隆、定性和表达分析, 并构建过量表达和RNAi载体通过农杆菌介导的水稻转化体系, 获得了该基因过量表达和RNAi株系^[11-12], 对转基因株系的抗病性和抗逆性(如抗旱、抗低温、抗高盐)等方面进行了功能鉴定(实验室待发表资料)。然而这个受病原菌

诱导表达的基因在水稻生长发育中的功能至今仍不清楚。

本文报道以*OsBTF3*基因过量表达(OE)株系和RNAi(RI)株系为试验材料, 比较分析T₁代转基因株系植株的光合作用、叶片生长和株型发育的研究结果, 发现了*OsBTF3*基因的增/减量表达显著影响水稻植株的生长发育, 初步揭示了*OsBTF3*在水稻生长发育中的调控功能, 为*OsBTF3*在水稻转基因分子育种中的应用评价提供了科学实验依据。

1 材料与方法

1.1 试验材料

由中国农业科学院作物科学研究所提供转基因受体水稻品种日本晴, 用野生型作对照株(WT), *OsBTF3* 过量

本研究由国家转基因生物新品种培育重大专项(2009ZX08009-044B, 2008ZX08001-002)资助。

* 通讯作者(Corresponding author): 何晨阳, E-mail: cyhe@caas.net.cn, Tel: 010-62894147

Received(收稿日期): 2011-09-13; Accepted(接受日期): 2012-01-19; Published online(网络出版日期): 2012-03-05.

URL: <http://www.cnki.net/kcms/detail/11.1809.S.20120305.1035.001.html>

表达(OE)株系(OE11、OE37 和OE39)和RNAi (RI)株系(RI17、RI30 和RI32)由本实验室创制和保存^[13-14]。

1.2 水稻叶片总 RNA 提取和 cDNA 合成

参照文献[13]的方法,取不同T₁代转基因株系幼苗叶片 2 g,经液氮冷冻研磨成粉末。加入 80℃预热的RNA抽提缓冲液(含 100 mmol L⁻¹ Tris-HCl、100 mmol L⁻¹ LiCl、10 mmol L⁻¹ EDTA、1%SDS、pH 8.0)与TE饱和酚的等体积混合液,振荡混匀;加入 1/2 体积的氯仿,振荡混匀;离心取上清,氯仿抽提至两相界面干净为止。上清中加入 1/3 体积的 8 mol L⁻¹ LiCl, 0℃沉淀过夜。离心收集沉淀,75%乙醇洗涤后真空干燥,溶于TE中。取 1 μL总RNA进行 1.2%琼脂糖凝胶电泳,检测RNA完整性。在反转录之前,用DNase处理总RNA。按照M-MLV Reverse Transcriptase (Invitrogen)试剂盒方法合成cDNA。

1.3 实时定量 PCR 分析

利用 Primer premier 5.0 软件设计 *OsBTF3* 和内标基因 *actin* 的特异引物。*OsBTF3* 引物序列为 5'-TGAGCAGTTCCAGAAGCAGG-3', 5'-TCTTCCACCTCCGCTTCC TT-3'。*actin*引物序列为 5'-CTGGTATCGTGTGGACTCTGG-3', 5'-CCCGTTCAGCAGTGGTAGTG-3'。以合成的cDNA为模板,按照 IQ SYBR Green Supermix 试剂盒(Bio-Rad, USA)的方法,用iCycler IQTM实时定量PCR仪(Bio-Rad, USA)进行RT-Q-PCR的检测。参照文献[14]的方法,以*actin*基因为内标参照, *OsBTF3* 相对表达量 = $2^{-\Delta\Delta Ct}$, 其中 $\Delta\Delta Ct = (Ct_{\text{target}} - Ct_{\text{actin}})_{\text{Time X}} - (Ct_{\text{target}} - Ct_{\text{actin}})_{\text{Time 0}}$, Ct为荧光阈值。

1.4 叶绿素含量测定

按照文献[15]报道的丙酮提取法,测定分蘖期水稻叶片叶绿素含量。根据 Lambert-Beer 定律,叶绿素浓度 $C_T = 20.2 A_{645} + 8.02 A_{663}$, 叶绿素含量($\mu\text{g g}^{-1}$) = $C_T \times \text{提取液总量}(\text{mL}) / \text{鲜重}(\text{g})$ 。

1.5 光合速率测定

用光合测定系统CID-310 (CID, 美国)测定抽穗后期叶片净光合速率。每个株系随机选取 5 片旗叶,每个叶片测定 5 个数据。叶面积为输入叶室的实际叶面积数值(cm^2)、流速为 0.4 L min⁻¹、反应时间和添加时间间隔均为 5 s。采用开系统、连续测定、追加方式测定。

1.6 水稻叶组织超微结构电镜观察

按照文献[16]的方法。取分蘖期的水稻叶片,沿叶脉方向剪成 5 mm × 10 mm 的长方形小片,在 0.1 mol L⁻¹磷酸缓冲液配制的 2.5%戊二醛溶液中固定。然后经漂洗、锇酸固定、乙醇脱水、临界点干燥、镀膜,用于扫描电镜(ESEM XL-30)观察。部分叶片样品经包埋、Reichert超薄切片机进行切片、染色,用于透射电镜(JEM-1230)观察。

1.7 水稻植株生长发育性状测定

将经潮霉素抗性(Hyg^R)筛选出的T₁代转基因植株置于正常温度条件下生长。按照文献[17]的方法,于水稻灌浆期测定株高、茎节数、节间长度、旗叶长度和宽度等性

状指标;采收期调查结实率、穗长、千粒重等生物学相关性指标,对各指标数据进行统计分析。

1.8 数据分析

以 3 次重复平均值±标准差为表征值,用 Microsoft Excel 软件制作图表;以 SPSS 软件中 LSD 法进行多重比较,比较分析 WT 和转基因株系间显著差异性($P < 0.05$)。

2 结果与分析

2.1 *OsBTF3* 在T₁代OE和RI转基因株系中的表达

实时定量 PCR 检测表明,在 OE 株系 OE11、OE37 和 OE39 中, *OsBTF3* 基因表达水平分别为野生型对照株的 4.27、4.56 和 3.85 倍;而在 RI 株系 RI17、RI30 和 RI32 中, *OsBTF3* 基因表达水平分别为野生型对照株的 0.14、0.03 和 0.05 倍。说明 *OsBTF3* 基因在 OE 株系中过量表达,而在 RI 株系中的表达被有效抑制。

2.2 *OsBTF3* 转基因株系光合作用

2.2.1 叶绿素含量和叶绿体数量 与WT叶绿素总量($491.9 \mu\text{g g}^{-1}$ FW)相比,3 个OE株系叶绿素含量(平均 $535.1 \mu\text{g g}^{-1}$ FW)显著升高,3 个RI株系含量(平均 $457.4 \mu\text{g g}^{-1}$ FW)明显降低(图 1)。说明 *OsBTF3* 基因表达显著地影响了水稻叶绿素含量。

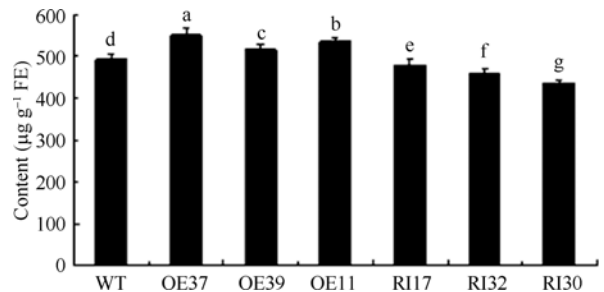


图 1 *OsBTF3* 转基因水稻株系植株叶绿素含量
Fig. 1 Chlorophyll contents of transgenic rice lines with over-expressed and RNAi-silenced *OsBTF3* gene
图柱上不同字母表示样品之间的差异显著($P < 5\%$)。

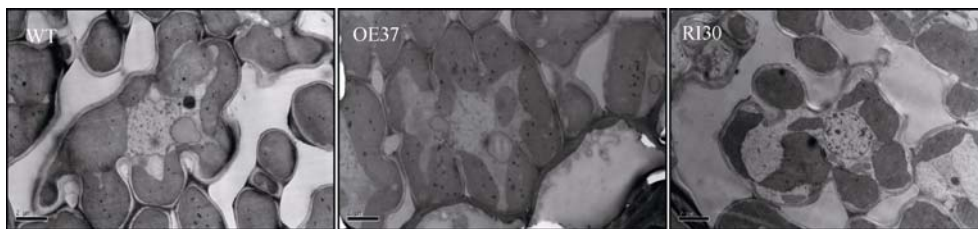
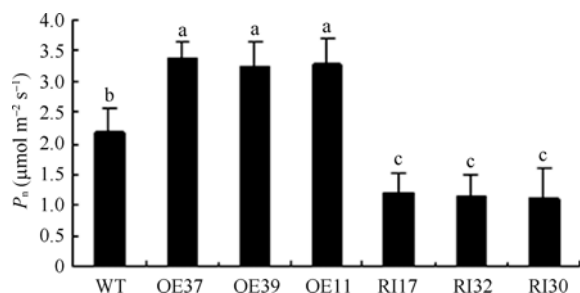
Bars superscribed by different letters are significantly different at 5% probability level among samples.

叶肉细胞超微结构观察发现,WT 和 OE37 株系叶肉细胞形态完好,叶绿体形态完整,排列紧密,充满整个细胞;OE37 株系叶绿体比 WT 的更丰富;而 RI30 株系叶肉细胞中叶绿体形态发生不规则改变,排列较为松散(图 2)。

2.2.2 光合速率 与WT净光合速率($2.19 \mu\text{mol m}^{-2} \text{s}^{-1}$)相比,3 个过量表达株系的(平均 $3.31 \mu\text{mol m}^{-2} \text{s}^{-1}$)显著增加,株系间无显著差异;而 3 个RI株系的(平均 $1.15 \mu\text{mol m}^{-2} \text{s}^{-1}$)明显降低,株系间无显著差异(图 3)。说明 *OsBTF3* 基因表达显著影响了水稻光合速率。

2.3 *OsBTF3* 转基因株系叶片生长

3 个 OE 株系平均叶长为 22.1 cm,而 3 个 RNAi 株系为 18.6 cm,WT 为 21.2 cm (图 4-A);3 个 OE 株系平均叶

图 2 *OsBTF3* 转基因水稻株系叶肉细胞超微结构Fig. 2 Ultra-structure of leaf cells on transgenic rice lines with over-expressed and RNAi-silenced *OsBTF3* gene图 3 *OsBTF3* 转基因水稻株系叶片光合速率Fig. 3 Net photosynthetic rate of transgenic rice lines with over-expressed and RNAi-silenced *OsBTF3* gene图柱上不同字母表示样品之间的差异显著 ($P < 5\%$)。

Bars superscribed by different letters are significantly different at 5% probability level among samples.

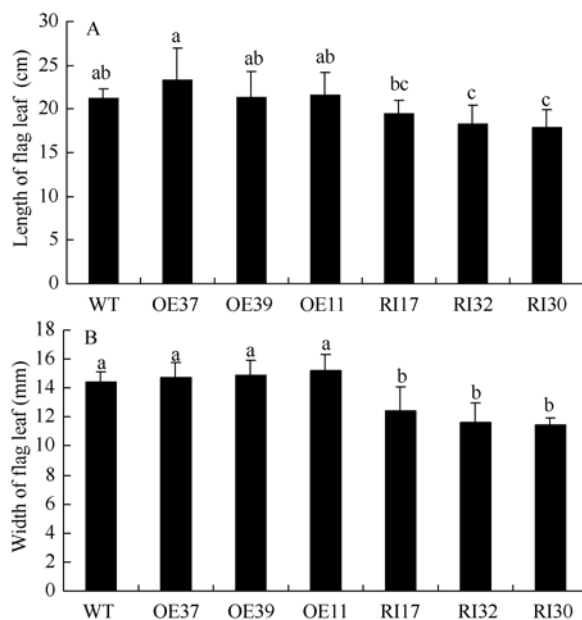
宽为 14.7 cm, 而 3 个 RNAi 株系为 11.8 cm, WT 为 14.1 cm (图 4-B)。说明 *OsBTF3* 基因增量表达增加了水稻旗叶面积, 而减量表达则作用相反。

扫描电镜观察表明, 与 WT 相比, OE37 和 RI30 叶片乳突密度加大, 气孔变小, 气孔沿叶脉方向排列更紧密; 气孔平均长度为 WT (24.7 μm) > RI30 (23.3 μm) > OE37 (21.1 μm) (图 5)。说明 *OsBTF3* 基因增量或减量表达均影响水稻叶片乳突密度和气孔大小。

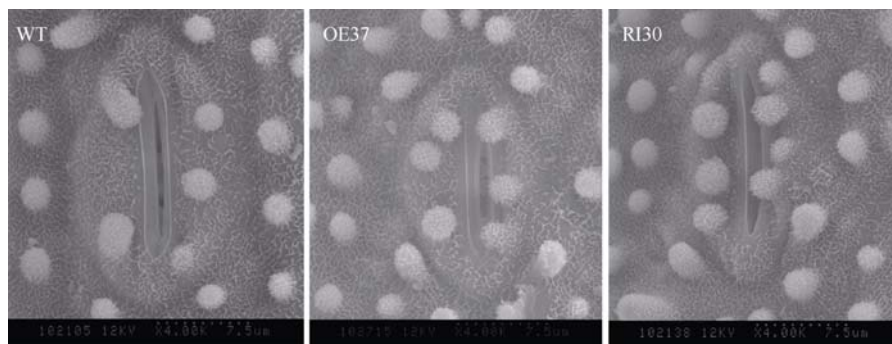
3.4 *OsBTF3* 转基因株系的株型发育

OE 株系生长旺盛, 株型高大, 在成熟期平均株高达 82.2 cm, 比 WT (79 cm) 高 12.2 cm; 而 RI 株系严重矮化、叶片披散, 生长较弱, 平均株高只有 61.3 cm, 比 WT 矮 9 cm (图 6)。说明 *OsBTF3* 基因增量表达可以促进水稻生长和株型发育, 而减量表达则作用相反。

WT、OE37 及 RI30 株系的茎节间(I₁、I₂、I₃和I₄)数量基本相同, OE37 各茎节间均长于 WT, 其中 I₄ 增长最显著; RI30 I₁ 长度大于 WT, 而 I₂、I₃ 和 I₄ 长度小于 WT, 其 I₁ 占总节间长的比例为 49%, 明显高于 WT 和 OE37, 说明 RI 株系的矮化主要是 I₂、I₃ 和 I₄ 节间变短所致 (图 7)。说

图 4 *OsBTF3* 转基因水稻株系的旗叶长度(A)和宽度(B)Fig. 4 Flag leaf size of transgenic rice lines with over-expressed and RNAi-silenced *OsBTF3* gene图柱上不同字母表示样品之间的差异显著 ($P < 5\%$)。

Bars superscribed by different letters are significantly different at 5% probability level among samples.

图 5 *OsBTF3* 转基因水稻株系叶片表面结构Fig. 5 Leaf surface structure of transgenic rice lines with over-expressed and RNAi-silenced *OsBTF3* gene

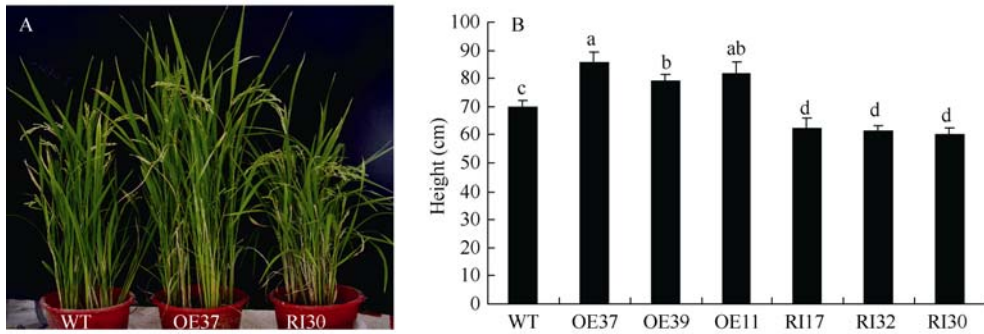


图 6 *OsBTF3* 转基因水稻株系植株长势(A)和株高(B)

Fig. 6 Plant growth (A) and height (B) of transgenic rice lines with over-expressed and RNAi-silenced *OsBTF3* gene

B 图柱上不同字母表示样品之间的差异显著 ($P < 5\%$)。

Bars superscribed by different letters are significantly different at 5% probability level among samples in Figure B.

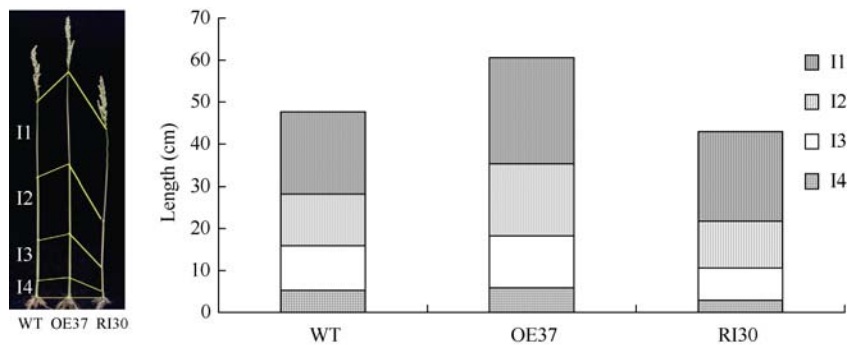


图 7 *OsBTF3* 转基因水稻株系植株节间长

Fig. 7 Length of stem internodes of transgenic rice lines with over-expressed and RNAi-silenced *OsBTF3* gene

明 *OsBTF3* 基因对株高的影响在茎节间发育早期更为明显。

3 讨论

本研究发现OE株系叶绿素含量、叶绿体数量和净光合速率明显高于WT, 而RNAi株系明显降低, 这些光合因子的变化直接导致光合作用的差异。*OsBTF3* 过量表达可以促进水稻叶片的光合作用。RNAi株系叶绿素含量、叶绿体数量的变化与烟草中的研究结果相似^[9], 说明植物BTF3 活性的丧失可能是通过阻碍新生蛋白进入细胞器, 而影响叶绿体的发育及其生理学功能。此外, 本实验室在后续研究中还发现, *OsBTF3* 过量表达对穗长、穗粒数、千粒重等籽粒性状具有强烈的促进作用(待发表资料), 这可能是OE株系光合作用增强所致。

本研究发现*OsBTF3* 基因沉默导致水稻植株叶片生长和株型发育受到显著影响, RNAi株系植株普遍比较矮小, 叶片披散, 生长较弱。这一结果与前人有关*BTF3* 基因突变具有致死效应或生长发育不良^[4-7]的研究结果相吻合。本研究还发现, *OsBTF3* 过量表达株系植株高大, 生长旺盛, 表明该基因增量表达对水稻植株整体生长发育具有显著的促进作用。

References

[1] Zheng X M, Moncollin V, Egly J M, Chambon P. A general tran-

scription factor forms a stable complex with RNA polymerase B (II). *Cell*, 1987, 50: 361-368

- [2] Wiedmann B, Sakai H, Davis T A, Wiedmann M. A protein complex required for signal-sequence-specific sorting and translocation. *Nature*, 1994, 370: 434-440
- [3] Lauring B, Kreibich G, Wiedmann M. The intrinsic ability of ribosomes to bind to endoplasmic reticulum membranes is regulated by signal recognition particle and nascent polypeptide-associated complex. *Proc Natl Acad Sci USA*, 1995, 92: 9435-9439
- [4] Yang K S, Kim H S, Jin U H, Lee S S, Park J A, Lim Y P, Pai H S. Silencing of *NbBTF3* results in developmental defects and disturbed gene expression in chloroplasts and mitochondria of higher plants. *Planta*, 2007, 225: 1459-1469
- [5] Möller I, Beatrix B, Kreibich G, Sakaic H, Luringa B, Wiedmann M. Unregulated exposure of the ribosomal M-site caused by NAC depletion results in delivery of non-secretory polypeptides to the Sec61 complex. *FEBS Lett*, 1998, 441: 1-5
- [6] Deng J M, Behringer R R. An insertional mutation in the BTF3 transcription factor gene leads to an early postimplantation lethality in mice. *Transgenic Res*, 1995, 4: 264-269
- [7] Bloss T A, Witze E S, Rothman J H. Suppression of CED-3-independent apoptosis by mitochondrial beta-NAC in *Caenorhabditis elegans*. *Nature*, 2003, 424: 1066-1071

- [8] Cooper B, Hutchison D, Park S, Guimil S, Luginbühl P, Ellero C, Goff S A, Glazbrook J. Identification of rice (*Oryza sativa*) proteins linked to the cyclin-mediated regulation of the cell cycle. *Plant Mol Biol*, 2003, 53: 273–279
- [9] Freire M A. Translation initiation factor (iso) 4E interacts with BTF3, the β subunit of the nascent polypeptide-associated complex. *Gene*, 2005, 345: 271–277
- [10] Wu M-S(吴茂森), Tian F(田峰), Qi F-J(齐放军), He C-Y(何晨阳). cDNA-AFLP analysis of gene expression response to *Xanthomonas oryzae* pv. *oryzae* and identification of genes expressed differentially during this compatible interaction in rice suspension cultured cells. *Sci Agric Sin* (中国农业科学), 2007, 40(2): 277–282 (in Chinese with English abstract)
- [11] Li G-X(李广旭), Wu M-S(吴茂森), Wu J(吴静), He C-Y(何晨阳). Molecular characterization and expression of *OsBTF3*, a rice gene up-regulated by *Xanthomonas oryzae* pv. *oryzae*. *Sci Agric Sin* (中国农业科学), 2009, 42(7): 2608–2614 (in Chinese with English abstract)
- [12] Li G-X(李广旭), Wu M-S(吴茂森), He C-Y(何晨阳). Gene expression response of transcription factor *OsBTF3* in rice to bacterial and fungal infection and signal molecule treatment revealed by quantitative real-time PCR analysis. *Acta Phytopathol Sin* (植物病理学报), 2009, 39(3): 272–277 (in Chinese with English abstract)
- [13] Sambrook J, Fritsch E F, Maniatis T. Molecular Cloning: a Laboratory Manual, 2nd edn. Cold Spring Harbor, New York: Cold Spring Harbor Laboratory Press, 1989
- [14] Livak K J, Schmittgen T D. Analysis of relative gene expression data using real-time quantitative PCR and the $2^{-\Delta\Delta Ct}$ method. *Methods*, 2001, 25: 402–408
- [15] Arnon D I. Copper enzymes in isolated chloroplasts: polyphenoloxidase in *Beta vulgaris*. *Plant Physiol*, 1949, 24: 1–15
- [16] Sato Y, Sentoku N, Miura Y. Loss-of-function mutations in the rice homeobox gene *OSH15* affect the architecture of internodes resulting in dwarf plants. *EMBO J*, 1999, 18: 992–1002
- [17] Ogi Y. The effects on culm and other agronomic characters caused by semi-dwarfing genes at the sd-locus in rice. *Jpn J Breed*, 1993, 43: 267–275

科学出版社生物分社新书推介

《西北农牧交错带常见植物图谱》

刘广全 著

定价: ¥168.00

出版时间: 2012年3月

书号: 978-7-03-033477-0

本书是在“十一五”国家科技支撑课题“困难立地工程造林技术研究”中“西北农牧交错带严重侵蚀区植被恢复与造林技术研究”和“水蚀风蚀复合区生态治理模式研究与示范”等项目或课题的部分研究成果综合而成,是解决国家实施退耕还林(草)、天然林保护和“三北”防护林等林业生态工程建设和生态环境保护中植物识别难题撰写的。本书概述了西北农牧交错带的区域范围、地形地貌、气候特点、土壤类型、植被类型以及植被恢复之对策,记述了西北农牧交错带种子植物300种,简述识别三大特征、分布和用途,附彩图300余幅。

获取更多图书信息请您关注: <http://www.lifescience.com.cn/>

欢迎各界人士邮购科学出版社各类图书

联系人: 科学出版社科学销售中心 周文宇 E-mail: zhouwenyu@mail.sciencep.com

联系电话: 010-64022646 010-64017321

网上订购: <http://shop.sciencepress.cn> 卓越网 当当网 京东图书 学士书店

更多精彩图书请登陆网站, 欢迎致电索要书目

